



آنالیز انتقال حرارت و جرم طی فرآیند سرخ کردن هوای داغ و سرخ کردن عمیق میگو

بهاره معروف پور^۱، امان محمد ضیائی فر^{۲*}، محمد قربانی^۳، حسن صباحی^۴، سعید یلقی^۵

۱ دانشجوی دکتری علوم و مهندسی صنایع غذایی، دانشگاه علوم کشاورزی و منابع طبیعی گرگان، گرگان، ایران

۲ استاد گروه مهندسی صنایع غذایی، دانشگاه علوم کشاورزی و منابع طبیعی گرگان، گرگان، ایران

۳ استاد گروه شیمی مواد غذایی، دانشگاه علوم کشاورزی و منابع طبیعی گرگان، گرگان، ایران

۴ استادیار گروه علوم و مهندسی مواد غذایی، دانشکده کشاورزی و دامپروری، مجتمع آموزش عالی تربت جام، خراسان رضوی، ایران

۵ استادیار گروه شیلات، مرکز تحقیقات شیلات استان گلستان، گرگان، ایران

چکیده

اطلاعات مقاله

تاریخ های مقاله :

تاریخ دریافت: ۱۴۰۲/۹/۸

تاریخ پذیرش: ۱۴۰۳/۲/۲۳

کلمات کلیدی:

میگو،

سرخ کردن هوای داغ،

انتقال جرم،

انتقال حرارت

در این پژوهش پدیده های انتقال طی سرخ کردن با هوای داغ و سرخ کردن عمیق بررسی شد.

عملیات سرخ کردن با هوای داغ (HAF) و سرخ کردن عمیق (DFF) در دمای $^{\circ}\text{C}$

۱۶۰ به مدت ۱۵ دقیقه برای قطعات استوانه ای میگو انجام گرفت. تغییرات دمای مرکزی

محصول طی سرخ کردن با استفاده از ترموکوپل نوع T متصل به دستگاه ثبت داده در رایانه

ثبت گردید. محتوی رطوبت و روغن نمونه ها در هر زمان از فرآیند اندازه گیری شد.

پارامترهای انتقال حرارت و جرم با استفاده از نمودارهای نسبت های دمایی و غلظت بدون

بعد و معادلات تجربی برآورد شد. نتایج نشان داد که پارامترهای انتقال جرم و حرارت طی

سرخ کردن با هوای داغ کمتر از روش سرخ کردن عمیق هستند. در سرخ کردن عمیق عدد

بایوت و ضریب نفوذ موثر بالاتر از روش سرخ کردن هوای داغ بود. ثابت سیتیکی کاهش

رطوبت در محصول در روش سرخ کردن عمیق بیشتر بود.

DOI: 10.22034/FSCT.22.161.86.

* مسئول مکاتبات:

ziaifar@gau.ac.ir

۱- مقدمه

سنگین و مواد معدنی بررسی شده است. مشخص شده است که تغییر در روش‌های پخت بهترین راه حل برای کاهش فلزات سنگین خطرناک و افزایش جذب مواد معدنی مفید است [۶]. میگوها منابع کاروتوئیدها - ایزوپرونوئیدها^{۱۳} هستند. پخت میگو موجب کاهش تعداد میکرووارگانیسم‌ها، تغییرات خصوصیات کیفی، تاثیر بر خواص حسی، فیزیکی، حرارتی و بافت (محتوی رطوبت، دانسته، هدایت حرارتی، تغییرات حجم، چروکیدگی و غیره) و باعث افت بازدهی تولید (به عنوان یک عامل اقتصادی مهم ناشی از تغییرات در محتوی رطوبت) می‌گردد. در واقع طی فرآوری حرارتی، پروتئین‌های میگو دچار دناتوراسیون می‌شوند و توانایی نگهداری آب خود را از دست می‌دهند که این امر می‌تواند موجب کاهش بازدهی تولید و تغییرات ابعادی شود. کاهش بار میکروبی و افت بازدهی تولید دو معیار مهم در به کارگیری برنامه‌ریزی مناسب پخت برای میگو است. زمان‌های پخت کوتاه و دماهای بالا محصول بهتری را از نظر ایمنی و سرعت بازدهی تولید و خواص حسی فراهم می‌نماید. پیش‌بینی کشندگی برای میکرووارگانیسم‌ها و افت بازدهی تولید در ترکیب‌های دما-زمان مختلف، اطلاعات مناسبی را جهت یک رویکرد آگاهانه در رابطه با بهینه‌سازی فرآیند پخت ایجاد می‌کند. این تغییرات با تاریخچه دمایی محصول و توزیع دمایی آن مرتبط هستند. تمام این موارد ممکن است با استفاده از مدل‌های ریاضی توسعه یافته برای کمک به صنعت در بهینه‌سازی فرآوری حرارتی میگو و افزایش کیفیت، تخمین زده شوند و ساده‌سازی گردد [۷].

میگو به همراه ماهی قزل آلا^۱ مهم‌ترین محصولات تجاری ماهی در دنیا هستند. غذاهای دریایی^۲ مانند میگو، رژیم غذایی اصلی در بسیاری از کشورها هستند و در حال حاضر تقاضا برای این محصولات به عنوان منبع عالی اسیدهای چرب چند غیر اشباع^۳ تحت عنوان امگا^۴ و سایر اسیدهای چرب در حال افزایش است. سرانه مصرف سالیانه میگو در ایالات متحده به طور مداوم در حال افزایش است. صنعت میگو در کشورهای آقیانوس اطلس جنوبی و حوزه خلیج بسیار اهمیت دارد و از مهم‌ترین گونه‌ها برای تولید غذاهای دریایی است [۱]. میگوها متعلق به خانواده خرچنگ^۵ هستند و از مهم‌ترین غذاهای دریایی از نظر اقتصادی در سراسر جهان در نظر گرفته می‌شوند. از نظر تغذیه‌ای پروتئین میگو زیست‌دسترسی^۶ بالایی دارد، زیرا به راحتی نسبت به پروتئین‌های منابع مختلف هضم^۷ می‌شود [۲]. میگو منبع غنی از ویتامین ب-۱۲، سلنیوم، اسیدهای چرب غیر اشباع امگا-۳ و استاکسانین است که مشخص شده است که حمایت آنتی اکسیدانی برای سیستم عصبی^۸ و سیستم اسکلتی عضلانی^۹ فراهم می‌نمایند. به علاوه، برخی مطالعات نشان داده است که موجب کاهش خطر احتمال ابتلا به سرطان روده^{۱۰} با جذب آستاکسانین و کاهش احتمال خطر برخی مشکلات مرتبط با دیابت می‌گردد [۳].

میگو معمولاً به شکل منجمد یا آبزدایی شده ذخیره می‌گردد [۴]. میگو با روش‌های مختلفی مانند بخاردهی و جوشاندن نیز فرآوری می‌شود و راندمان فرآوری و کیفیت نهایی آن بستگی به نوع و شرایط فرآیند دارد [۵]. انواع روش‌های پخت ماهی و میگو به صورت کبابی^{۱۱}، پرورانده^{۱۲}، سرخ‌شده و پخته شده از نظر تاثیر بر ترکیبات فلزات

8- Nervous system

9 -Musculoskeletal system

10 -Colon cancer

11 -Grilled

12- Curried

13- Carotenoids-isoprenoids

1- Salmon

2- Seafood

3- Polyunsaturated fatty acids

4- Omega

5- Crustacean

6 -Bioavailability

7 -Digestibility

بنابراین، در مجموع سرخ کن‌های هوای داغ به عنوان یک تکنولوژی فرآوری گرمایشی جایگزین برای سرخ کردن مواد غذایی و یک روش پخت سالم‌تر در نظر گرفته می‌شوند و باقیستی از جنبه‌های حسی محصول نیز تحقیق گردد [۱۸]. مطالعه مقایسه روش سرخ کردن عمیق و هوای داغ در رابطه با محصولات مختلف اهمیت دارد؛ زیرا پذیرش فرایند سرخ کردن با هوای داغ به خواص ارگانولپتیکی محصول نهایی (ظاهر، تردی، طعم، طعم دهانی چرب، رنگ، آroma و پذیرش کلی) و شباهت کیفی آن به فرایند سرخ کردن عمیق بستگی دارد [۱۵]. مصرف کنندگان به محتوی چربی بسیار توجه دارند و محتوی بالای چربی پذیرش محصول را کاهش می‌دهد [۱۹]. پارامترهای کیفی عمدۀ موثر بر پذیرش محصولات سرخ شده شامل محتوی روغن و بافت است. بافت و محتوی چربی تحت تاثیر فرآیندهایی مانند بلانچینگ، خشک کردن با هوای داغ، پیش‌تیمارهای اسمزی، پوشش دهنی (هیدروکلئیدها و مستقات نشاسته) و شرایط فرایند سرخ کردن (دما، زمان) قرار می‌گیرد. با وجود اهمیت کترل فرآیند سرخ کردن و بهبود کیفیت محصول می‌گو، فرآوری این محصول دریایی با روش سرخ کردن به میزان خیلی کمی مورد توجه پژوهشگران قرار گرفته است و تاکنون در زمینه فرآوری می‌گو با روش سرخ کردن هوای داغ و مقایسه آن با روش سرخ کردن عمیق پژوهشی انجام نشده است. همچنین مطالعات انتقال حرارت و جرم، خواص فیزیک و شیمیایی و مدل‌سازی‌های غیر خطی در رابطه با محصول می‌گو و فرآیند سرخ کردن به روش هوای داغ کمتر مورد توجه قرار گرفته است یا تاکنون بررسی نشده است. با توجه به نقش مهم فرآیندهای غذایی در سلامت محصول نهایی، افزایش آگاهی در مورد جزئیات فرآیندی مانند سرخ کردن عمیق و سرخ کردن با هوای داغ موجب بهبود کترل شرایط این فرآیند و در نتیجه کاهش مضرات ناشی از تجزیه ترکیبات مختلف بر سلامتی انسان در اثر مصرف می‌گو می‌شود. در تکنولوژی نوین به صورت سرخ کردن با هوای داغ، در نهایت ماده غذایی

به دلیل اهمیت کترول جذب روغن در محصولات سرخ شده، استراتژی‌های زیادی مانند فشار پایین [۸]، حرارت دهی ماکروپو [۹]، حرارت دهی هوای داغ یا پیش تیمارهای مختلف مانند بلانچینگ، پوشش دهی، انجام [۱۰] یا پیش خشک کردن [۱۱] با هدف کاهش مقدار جذب روغن، کاهش مدت زمان فرایند، طولانی شدن ماندگاری ماده اولیه و آماده‌سازی فراوده برای عرضه به صنایع غذایی، رستوران‌ها یا منازل پیشنهاد شده است. اصلاحات فرآیند می‌تواند تا حد زیادی از خطرات تهیید کننده سلامت و افت کیفیت محصول نهایی پیشگیری کند. در سال‌های اخیر سرخ کردن با هوای داغ^{۱۴} به عنوان یک فرآیند جایگزین سرخ کردن عمیق^{۱۵} معرفی شده است. تجهیزات سرخ کردن با هوای داغ در بازار موجود و در حال تکامل است [۱۲]. در این روش، محصول با قطرات روغن پخش شده در هوای داغ در تماس مستقیم قرار می‌گیرد و از این طریق، محصول آبزدایی شده و پوسته به تدریج روی محصول سرخ شده ظاهر می‌گردد [۱۳]. افزودن روغن می‌تواند قبل یا طی فرایند با پوشش اندک روی سطح ماده غذایی با هدف ایجاد طعم، بافت و ظاهر مطلوب محصولات سرخ شده انجام گیرد [۱۴]. سرخ کن‌های با هوای داغ، انتقال حرارتی یکنواخت بین هوا و محصول در حال سرخ شدن را فراهم می‌کنند [۱۵] که در نتیجه تغییرات کیفی در سراسر محصول به صورت یکنواخت صورت می‌گیرد [۱۶]. در سرخ کردن با هوای داغ در نهایت ماده غذایی سرخ شده با مقدار روغن بسیار پایین و سطح رطوبتی مشابه با سرخ کردن عمیق بدست می‌آید [۱۳]. در روش سرخ کردن با هوای داغ محصول از تمامی جهات در یک زمان حرارت داده می‌شود و در بیشتر موارد نیاز به افزودن روغن نیست [۱۲]. محصول سرخ شده توسط هوای داغ، ۸۰٪ روغن کمتری در مقایسه با سرخ کردن عمیق دارد [۱۶] و ذخیره ۷۰٪ انرژی و کاهش انتشار پساب‌های ناشی از سرخ کردن را به دنبال دارد [۱۷].

نمونه‌ها با فاصله زمانی سه دقیقه از سرخ کن خارج شدند. پس از اتمام فرآیند سرخ کردن، نمونه حدود ۲ دقیقه روی کاغذ جاذب قرار گرفت تا روغن سطحی آن خارج شود. سپس میگویی سرخ شده توزین شد و برای اندازه‌گیری رطوبت آون گذاری شد. با هدف فراهم سازی شرایط معین در بررسی فرآیند، ترکیب شیمیایی و مقطع عرضی برای هر میگوییکسان فرض شد.

۲-۲-۲- عمليات سرخ كردن عميق

مطابق مویانو و پدرسچی (۲۰۰۶)، پس از توزین میگو و ثبت وزن اولیه آن، فرآیند سرخ کردن عمیق در یک سرخ کن (Moulinex Olea Plus) حاوی یک لیتر روغن آفتابگردان اویلا و مجهر شده به کترل کننده دما دارای ترمومکوپل نوع K در دمای ۱۶۰ درجه سانتی گراد به مدت ۱۵ دقیقه انجام شد [۱۰]. فاصله زمانی میزان حرارت دهی نمونه ها در این روش، ۱، ۲، ۳، ۶، ۹، ۱۲ و ۱۵ دققه بود.

۲-۳- تجزیه و تحلیل انتقال جرم طی سرخ کردن

به منظور بررسی پدیده‌های انتقال جرم طی سرخ کردن می‌گو
به روش عمیق و هوای داغ مراحل ذیل انجام گرفت:

۲-۳-۱- اندازه‌گیری محتوی رطوبت محصول

ظرف فلزی مخصوص خشک کردن در آون (Memmert) UFP500 با دمای 120°C به مدت ۲۰ دقیقه قرار گرفت و پس از دسیکاتور گذاری و توزین، وزن ثابت ظروف فلزی بدست آمد. نمونه‌های سرخ شده مطابق دستورالعمل مخصوص اندازه‌گیری رطوبت نمونه‌های چرب، توزین شده و به مدت ۱۶ ساعت در دمای 10°C درجه سانتی‌گراد توسط آون همرفتی جهت رسیدن به وزن ثابت خشک شدند (AOAC, 1995). بعد از خشک شدن، ظرف حاوی نمونه بوسیله گیره فلزی به دسیکاتور منتقل شده و پس از

سرخ شده با مقدار روغن بسیار پایین و سطح رطوبتی مشابه با سرخ کردن عمیق بدست می‌آید. در این پژوهش پدیده‌های انتقال، تغییرات کیفی میگو و ارزیابی حسی آن طی سرخ کردن با هوای داغ بررسی شد.

۲- مواد و روش‌ها

۱-۲ - آماده سازی میگو

میگوهای تازه و هم لندازه (میگوی پاسفید^{۱۶}) از پرورش میگوی گرگان در شمال ایران (شهرک صنعتی بندر ترکمن، شرکت شیل آبزی گلستان) خریداری شدند و در کیسه‌هایی از جنس پلی‌اتیلن در داخل فریزر در دمای انجماد قرار گرفتند. جهت آماده‌سازی نمونه‌ها، میگوها در دمای اتاق به مدت ۱۰ دقیقه قرار گرفتند. میگوها ابتدا شسته شدند و به صورت قطعاتی تقریباً استوانه‌ای با قطر برابر با ۹ میلی‌متر و ارتفاع ۱۵ میلی‌متر جداسازی و آماده شدند.

۲-۲- عملیات سرخ کردن میگو

عملیات سرخ کردن میگو با دو روش سرخ کردن هوای داغ (HAF) و سرخ کردن عمیق (DFF) انجام گرفت:

۱-۲-۲- عملیات سرخ کردن با هوای داغ

عملیات سرخ کردن با هوای داغ برای میگو پس از توزین اولیه و ثبت وزن آن توسط ترازوی آزمایشگاهی با دقت ۰/۰۰۱ کرم (Sartorius GCA803S)، با پاشش ۰/۰۱ درجه سانتی گراد روغن روی قطعات میگو در دمای ۱۶۰ درجه سانتی گراد در یک سرخ کن هوای داغ (Geepas-Gaf2708) طی مدت ۱۵ دقیقه انجام گرفت. ماکریم سرعت هوای داغ برابر با ۷/۵ متر بر ثانیه بود که با دستگاه بادسنج (hot wire anemometer TES 1341) اندازه گیری شد.

بالن پس از استخراج و m وزن نمونه خشک بدون روغن
بر حسب گرم می‌باشد.

$$W_{oil} = \frac{W_1 - W_2}{m} \quad (2)$$

۳-۲-۳-۲- تخمین پارامترهای انتقال جرم

داده‌های مربوط به تغییرات رطوبت-زمان برای میگو طی سرخ کردن برای تخمین پارامترهای انتقال جرم مانند عدد بایویت، ضریب انتقال جرم و نفوذ رطوبت همانند کار یلدیز و همکاران (۲۰۰۷) و صباغی و همکاران (۲۰۱۷) استفاده شد [۳۲، ۲۰]. میگو به صورت استوانه نامحدود در نظر گرفته شد. رابطه 3 ، غلظت را به عنوان تابعی از زمان و موقعیت برای یک استوانه نامحدود بدست می‌دهد. در معادلات فوق $C(x, t) = C_0 e^{-kt}$ محتوی رطوبت محصول در هر نقطه و در هر زمان بر حسب گرم آب بر گرم ماده خشک (g/g ، db)، C_i محتوی رطوبت اولیه محصول (g/g ، db)، C_∞ محتوی رطوبت تعادلی محصول (رطوبت محصول در زمان بی‌نهایت) یا رطوبت بستر فرآیند است که می‌تواند صفر در نظر گرفته شود. L بعد مشخصه برابر با نصف شعاع استوانه میگو بر حسب متر، D ضریب نفوذ موثر (m^2/s)، k ضریب انتقال جرم (m/s)، μ ریشه تابع غیر تجربی برای تغییرهای محدود و t زمان بر حسب ثانیه می‌باشد. رابطه (۷) مربوط به تغییرات غلظت متوسط رطوبت در استوانه نامحدود است. در رابطه (۴) عبارت $(\bar{C}) = \frac{C_0 + C_\infty}{2}$ میزان متوسط رطوبت محصول در زمان t بر حسب ماده خشک (g/g ، db) می‌باشد. با در نظر گرفتن قانون انطباق^{۱۷} یا قانون مجموع^{۱۸}، رابطه (۵) برای دو بعد میگو بدست می‌آید. با رسم منحنی لگاریتم طبیعی تغییرات غلظت در برابر زمان و بدست آوردن عرض از مبدأ خط حاصل با استفاده از رابطه (۶)، مقدار μ و سپس با استفاده از شبیه آن مقدار ضریب نفوذ موثر (D) محاسبه شد. عدد بدون بعد بیوت انتقال جرم

سرد شدن توزین گردید. با استفاده از رابطه (۱) میزان رطوبت نمونه بر مبنای وزن خشک بدون روغن محاسبه شد. آزمایش در سه تکرار انجام شد. در این رابطه، M جرم نسبی رطوبت بر مبنای وزن خشک بدون روغن (g/g ، db)، W_0 وزن ثابت ظرف فلزی، W_1 وزن ظرف به همراه نمونه قبل از خشک کردن، W_2 وزن ظرف به همراه نمونه بعد از خشک کردن و W_{oil} وزن روغن جذب شده بر حسب ماده خشک (بعد از انجام آزمایش سوکسله) همگی بر حسب گرم می‌باشند.

$$M = \frac{W_1 - W_2}{W_2 - W_0 - W_{oil}} \quad (1)$$

$$M = \frac{W_1 - W_2}{W_2 - W_0 - W_{oil}}$$

۴-۳-۲- اندازه‌گیری محتوی روغن محصول در سرخ کردن عمیق

اندازه‌گیری محتوی روغن طی زمان برای میگوی سرخ شده با روش عمیق انجام گرفت. نمونه‌های خشک حاصل از اندازه‌گیری رطوبت برای اندازه‌گیری روغن به روش سوکسله توسط دستگاه سوکسله (Peco PSU-500) استفاده شدند (AOAC 2000). میگوی سرخ شده و خشک شده روی کاغذ صافی توزین شد و بعد از بستن کاغذ بوسیله دسته هاون چینی کاملاً خرد شد. بالنهای سوکسله به مدت ۲۰ دقیقه در دمای ۱۲۰ درجه سانتی‌گراد در آون و سپس در دسیکاتور قرار گرفتند تا به وزن ثابت برسند. پس از اتصال دستگاه سوکسله به صورت سه تایی برای سه تکرار نمونه مربوط به هر تکرار در اکسیتراتکتور دستگاه قرار گرفت. استخراج بوسیله حلال پترولیوم اتر به مدت ۶ ساعت انجام شد و جرم نسبی روغن بر حسب ماده خشک بدون روغن مطابق رابطه (۲) محاسبه شد. در این رابطه، M_{oil} میزان روغن جذب شده بر حسب ماده خشک بدون روغن (g/g ، db)، W_1 وزن ثابت اولیه بالن، W_2 وزن نهایی

(Bi_m) و ضریب انتقال جرم (k_c) نیز با استفاده از رابطه (۷) محاسبه شد.

$$\frac{C(x,t) - C_\infty}{C_i - C_\infty} = \frac{2 \sin \mu_n}{\mu_n + \sin \mu_n \cos \mu_n} \times \cos\left(\mu_n \frac{x}{L}\right) \exp\left(-\mu_n^2 \frac{Dt}{L^2}\right) \quad (3)$$

$$\frac{\bar{C}(t) - C_\infty}{C_i - C_\infty} = \frac{2 \sin^2 \mu_1}{\mu_1 [\mu_1 + \sin \mu_1 \cos \mu_1]} \exp\left(-\mu_1^2 \frac{Dt}{L^2}\right) \quad (4)$$

$$\ln\left(\frac{\bar{C}(t) - C_\infty}{C_i - C_\infty}\right) = 2 \ln E - 2 \mu_1^2 \frac{Dt}{L^2} \quad (5)$$

$$E = \frac{2 \sin^2 \mu_1}{\mu_1 [\mu_1 + \sin \mu_1 \cos \mu_1]} \quad (6)$$

$$Bi_m = \mu_1 \tan \mu_1 = \frac{k_c L}{D} \quad (7)$$

۴-۲- بررسی انتقال حرارت در حین سرخ کردن

۳-۲- بررسی سنتیک کاهش آب

۴-۲- ثبت تغییرات دمای محصول

به منظور مطالعه حرارتی فرآیند سرخ کردن از روش مستقیم با قرار دادن ترموموکوپل در داخل محصول استفاده شد. بدین منظور یک ترموموکوپل نوع T در مرکز محصول قرار گرفت و سپس محصول در سرخ کن هوای داغ و سرخ کن عمیق که در دمای ۱۶۰ درجه سانتی گراد که دمای آن بوسیله ترموکترول مجهر به ترموموکوپل نوع K ثابت نگه داشته می شود، سرخ شد. تغییرات دمای مرکز محصول در مدت ۱۵ دقیقه با فاصله زمانی ۱ ثانیه بوسیله دیتالاگر^{۲۰} (Model TC-08 "RS-232" Pico technology)^{۲۱} در کامپیوتر ثبت شد. این آزمایش در سه تکرار انجام گرفت. نمودارهای حاصل از میانگین دمای ثبت شده مرکزی مورد بررسی قرار گرفت.

تغییرات رطوبت میگو طی سرخ کردن از یکتابع نمایی کاهشی پیروی می کند. معادله کلی جریان خروج آب از محصول طی سرخ کردن به صورت رابطه (۸) است [۲۱، ۲۲]:

در این معادله K_m نرخ ویژه^{۱۹} یا ثابت سنتیک کاهش آب محصول برحسب (1/s) است که به خصوصیات هندسی و ترکیب اولیه محصول و شرایط فرآیند وابسته است. m_t و m_∞ به ترتیب رطوبت محصول در زمان t و زمان بی نهایت (g/g, db) می باشد. با رسم $\ln(m_t/m_0)$ در برابر زمان و بدست آوردن شبی خط حاصل، K_m برای دماهای مختلف آزمایش برآورد شد.

$$\ln\left(\frac{m_t - m_\infty}{m_i - m_\infty}\right) = -K_m t \quad (8)$$

سانتی‌گراد تعیین شد (AOAC, 1996). تمام اندازه‌گیری‌ها در سه تکرار انجام گرفت و نتایج بر مبنای وزن مرطوب گزارش گردید. در معادلات فوق، x_w مقدار رطوبت محصول بر حسب گرم ماده مرطوب (g/g, wb)، x_{pr} مقدار پروتئین محصول بر حسب گرم ماده مرطوب (g/g, wb)، x_f مقدار چربی محصول بر حسب گرم ماده مرطوب (g/g, wb)، x_c مقدار کربوهیدرات محصول بر حسب گرم ماده مرطوب (g/g, wb)، x_{ash} مقدار خاکستر محصول بر حسب گرم ماده مرطوب (g/g, wb) و C_p ظرفیت گرمایی ویژه بر حسب (J/kg.K) است. نفوذ حرارتی (m^2/s) می‌گویی با استفاده از معادله (۱۱) محاسبه شد.

۲-۴-۲- محاسبه ویژگی‌های حرارتی میگو

مطابق حنان حمید و همکاران (2018)، ضریب انتقال حرارت هدایتی (k) و ظرفیت گرمایی ویژه (c_p) می‌گویی به عنوان تابعی از پنج ترکیب مختلف نمونه (رطوبت، پروتئین، چربی، خاکستر و کربوهیدرات) به ترتیب با استفاده از رابطه (۹) و رابطه (۱۰) تخمین زده شد و تغییرات آن با زمان فرایند بررسی گردید [۲۳]. اندازه‌گیری پروتئین با استفاده از روش کجلال، توسط دستگاه کجلتک Behr شد (AOAC, 1996). مقدار خاکستر با استفاده از کوره الکتریکی (Nabertherm B510) و در دمای ۵۵۰ درجه (InKjel 625P) و با در نظر گرفتن ضریب تبدیل 6/25 انجام شد (AOAC, 1996).

(۹)

$$k = 0/58x_w + 0/155x_{pr} + 0/16x_f + 0/25x_c + 0/135x_{ash} \quad (9)$$

$$C_p = 4187x_w + 1549x_{pr} + 1675x_f + 1424x_c + 837x_{ash} \quad (10)$$

$$\alpha = \frac{k}{\rho c_p} \quad (11)$$

طبیعی کسر دمایی انجام نشده در برابر زمان فرآیند، شب بخش خطی منحنی برابر با $\frac{\alpha t}{L^2} - 2\mu_1^2$ خواهد بود [۳۲]. با توجه به اینکه نفوذ حرارتی α و نصف شاعع می‌گویی مشخص است، μ_1 قابل محاسبه خواهد بود. در نهایت عدد بدون بعد با یوت انتقال حرارت و ضریب انتقال حرارت جابجایی با استفاده از رابطه ۱۵ قابل تخمین است. در این معادلات دمای $T(r, t)$ دمای محصول در هر نقطه و در هر زمان، T_i دمای اولیه محصول، T_∞ دمای بستر فرآیند بر حسب ${}^\circ\text{C}$ ، L نصف شاعع استوانه می‌گویی بر حسب متر، α ضریب نفوذ حرارتی ($\text{W/m}^2 \text{ } {}^\circ\text{C}$)، h ضریب انتقال حرارت جابجایی (m^2/s)، μ ریشه تابع غیر تجربی برای استوانه نامحدود و t زمان بر حسب ثانیه می‌باشد.

۲-۴-۳- تخمین ضریب انتقال حرارت جابجایی با دمای مرکزی

ضریب انتقال حرارت جابجایی با حل معادلات برای هدایت حرارت یک بعدی در مختصات کارتزین مطابق رابطه (۱۲) برآورد شد.

شکل هندسی محصول به صورت یک استوانه محدود می‌تواند حاصل برخورد یک صفحه نامحدود با استوانه نامحدود فرض شود. در این حالت کسر دمایی انجام نشده در حالت محدود از حاصل ضرب کسر دمایی دو هندسه نامحدود مطابق رابطه ۱۳ بدست می‌آید. با توجه به رابطه ۱۴، مطابق صباغی و همکاران (۲۰۱۷) با رسم لگاریتم

$$\frac{\partial^2 T}{\partial x^2} = \frac{1}{\alpha} \frac{\partial T}{\partial t}, \quad 0 \leq x \leq L \quad \text{for } t > 0 \quad (12)$$

$$\left(\frac{T(r,z,t) - T_{\infty}}{T_i - T_{\infty}} \right)_{\text{finite plate}} = \left(\frac{T(r,t) - T_{\infty}}{T_i - T_{\infty}} \right)_{\text{infinite cylinder}} \times \left(\frac{T(z,t) - T_{\infty}}{T_i - T_{\infty}} \right)_{\text{infinite plate}} \quad (13)$$

$$\ln \left(\frac{T(r,z,t) - T_{\infty}}{T_i - T_{\infty}} \right) = \ln A - 2\mu_1^2 \frac{\alpha t}{L^2} \quad (14)$$

$$Bi_h = \mu_1 \tan \mu_1 = \frac{hL}{k} \quad (15)$$

در شکل (۱) تغییرات محتوی رطوبت میگو در حین سرخ کردن با هوای داغ و سرخ کردن عمیق به همراه انحراف معیار داده‌های آزمایشی به عنوان تابعی از زمان فرآیند نشان داده شده است. با شروع فرآیند سرخ کردن هوای داغ، نرخ کاهش رطوبت محصول تا زمانی که رطوبت سطحی کاملاً خشک نشده باشد افزایش می‌یابد و با کاهش رطوبت محصول به تدریج تغییرات رطوبتی به میزان ثابت می‌رسد. همان طور که انتظار می‌رود، پس از رسیدن دمای میگو به دمای جوش آب، تبخیر آب صورت می‌گیرد که در دماهای بالای سرخ کردن هوای داغ سریع تر اتفاق می‌افتد و شدت آن در ۳ دقیقه ابتدایی فرآیند بیشتر است که به دلیل تبخیر ناگهانی آب آزاد سطحی 23 محصول و اختلاف دمای بین سیال و نقطه جوش آب می‌باشد. در حین سرخ کردن هوای داغ، اختلاف فشار بخار جزئی بین محصول و هوای داغ باعث تبخیر آب می‌شود. این اختلاف فشار جزئی مسلمان در ابتدای فرآیند بیشتر می‌باشد. این مشاهدات با نتایج بسیاری از محققین سازگاری دارد [۱۰، ۲۵، ۲۶، ۲۷]. همان طور که مشخص است، شدت تغییرات رطوبت محصول طی سرخ کردن عمیق به گونه‌ای است که بعد از گذشت ۱ دقیقه از فرآیند، محتوی رطوبت محصول به حدود ۲ گرم بر گرم ماده خشک می‌رسد. شدت افت رطوبت میگو در تماس با روغن داغ در روش عمیق به نحوی است که پس از گذشت ۹ دقیقه از فرآیند،

۳- نتایج و بحث

۳-۱- نتایج بررسی میزان ترکیبات شیمیایی میگو و ویژگی‌های حرارتی میگو

نتایج بررسی میزان آب، پروتئین، چربی، خاکستر، ماده خشک و کربوهیدرات میگوی پاسفید در جدول ۱ ارائه شده است. نتایج با داده‌های (USDA²² ۱۹۹۶) مطابقت دارد.

Table 1. Amount of shrimp chemical compounds

Chemical compounds	Amount (unit)
Protein	12.25(%)*
Fat	1(%)*
Ash	1.75 (%)*
Moisture	85 (%)
Dry matter	15 (%)*
Carbohydrate	negligible

* Based on wet weight

۳-۲- نتایج بررسی انتقال جرم در حین سرخ کردن هوای داغ

۳-۲-۱- تغییرات رطوبت محصول در حین سرخ کردن هوای داغ

موئینگی و گرادیان فشار اتفاق می‌افتد و زمانی که به نقطه جوش آب می‌رسد، تبخیر توسط انتشار مولکولی صورت می‌گیرد [۲۸]. کاستا و همکاران (۱۹۹۹) بیان کردند که طی سرخ کردن، نرخ کاهش آب تا تکمیل خشک شدن سطحی محصول به طور افزایشی است و سپس با افزایش زمان کاهش می‌یابد [۲۹]. فارکاس و هابارد (۲۰۰۰) و صباغی و همکاران (۲۰۱۵) بیان کردند که حداقل نرخ کاهش رطوبت در زمان‌های ابتدایی فرآیند سرخ کردن است [۳۰، ۳۱].

محتوی رطوبت محصول به حدود صفر می‌رسد در حالی که در روش هوای داغ این حالت مشاهده نشد. پن و همکاران (۲۰۱۵) روند مشابهی را در کاهش رطوبت میگو طی سرخ کردن تحت خلاء مشاهده کردند که با افزایش دما، شدت ار دست رفتن آب طی زمان بیشتر شد [۲۷]. یانگ و همکاران (۲۰۲۱) در مطالعه‌ای که روی سرخ کردن میگو داشتند، بیان نمودند که بعد از سرخ کردن میزان رطوبت میگو تحت تاثیر بستر سرخ کردن متغیر است. مکانیسم انتقال رطوبت میگو از قسمت مرکزی به سمت بیرون توسط فشار

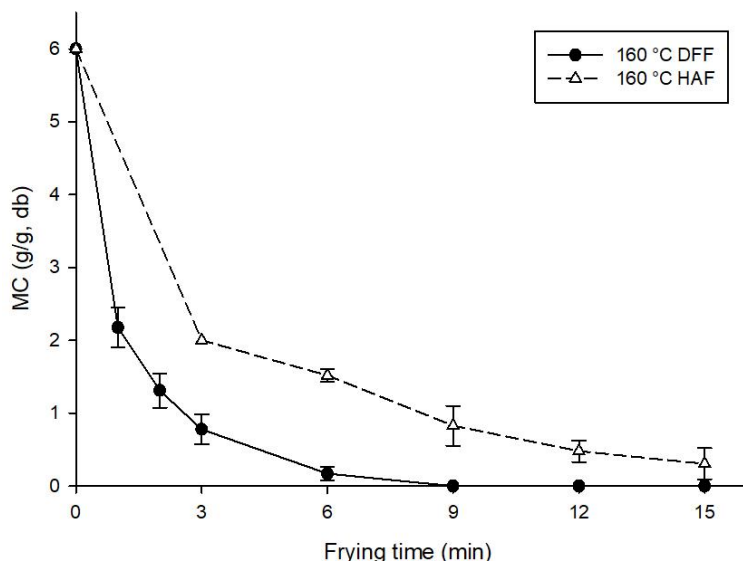


Fig 1. Moisture content during deep fat frying (DFF) and hot air frying (HAF)

مطابق جدول (۲) برای پارامترهای انتقال جرم با نتایج یلدیز و همکاران (۲۰۰۷) مطابقت دارد ولی آنها برای تغییرات عدد بایوت شکل منظمی را بیان نکردند [۲۰]. با کاهش نرخ از دست رفتن رطوبت محصول، ضریب انتقال جرم به طور منظم کاهش یافت. ضریب نفوذ موثر در روش سرخ کردن عمیق بیشتر از سرخ کردن هوای داغ بود. صباغی و همکاران (۲۰۱۷) بیان کردند که با افزایش دمای بستر فرآیند عدد بایوت، ضریب انتقال جرم و نفوذ موثر رطوبت به طور معنی‌داری افزایش می‌یابند [۳۲].

۲-۲-۳- پارامترهای انتقال جرم

شکل (۲) نمودار تغییرات میانگین غلظت بدون بعد را در برابر زمان سرخ کردن به روش هوای داغ و عمیق را نشان می‌دهد. از این نمودار برای محاسبه پارامترهای انتقال جرم (عدد بایوت، ضریب انتقال جرم و نفوذ موثر رطوبت) استفاده شد. همان‌طور که مشاهده می‌شود، شدت از دست رفتن آب میگو در روش سرخ کردن عمیق از روش سرخ کردن هوای داغ بیشتر بوده است. تغییرات بدست آمده

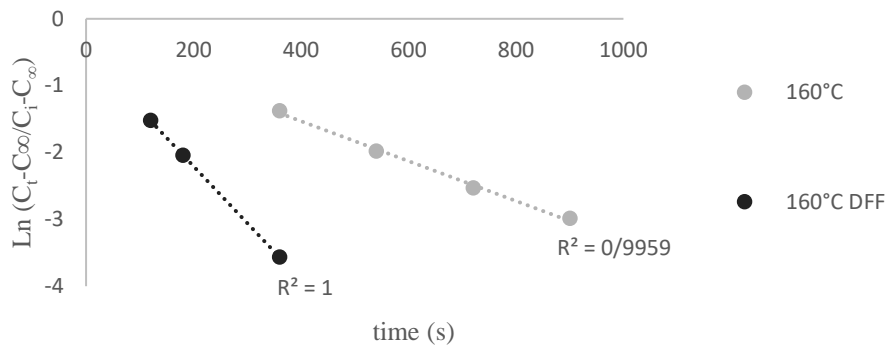


Fig 2. Mean concentration over time during deep fat frying (DFF) and hot air frying (HAF)

Table ۱. Mass transfer parameters for deep fat frying (DFF) and hot air frying (HAF)

Effective penetration coefficient ($D \times 10^{-9} \text{ m}^2/\text{s}$)	Mass transfer coefficient ($K_c \times 10^{-5} \text{ m/s}$)	Biot number (B_{im})	Temperature (°C)
۲/۸۲	۰/۶۹	۳/۵۵	HAF ۱۶۰
۹/۱۹	۱/۴۵	۵/۵۵	DFF ۱۶۰

روش سرخ کردن عمیق برابر با $0.0098 \pm 0.0020 \text{ s}^{-1}$ محاسبه

شد که مقدار آن بالاتر از مقادیر هوای داغ بود.

همان طور که مشخص است در سرخ کردن عمیق در دمای ۱۶۰ درجه سانتی گراد ثابت سیستمی کاهش آب از سرخ کردن با هوای داغ به طور معنی داری بیشتر بود. محبی و همکاران (۲۰۱۱) بیان کردند که محتوی رطوبت نهایی محصول با افزایش دمای فرآیند سرخ کردن کاهش می یابد و با افزایش زمان سرخ کردن نرخ کاهش آب محدود می شود [۳۳]. دبناس و همکاران (۲۰۰۳) نیز بیان کردند که با افزایش دمای فرآیند، ثابت سنتیک کاهش آب افزایش یافت [۱۱]. رومانی و همکاران (۲۰۰۸) نیز حدود سه دقیقه پس از شروع فرآیند نرخ کاهش آب را با روند کاهشی و تقریباً ثابت گزارش کردند [۳۴].

۳-۲-۳- ستیک خروج آب از محصول

در شکل (۳) برای برآشش مدل ستیکی روی لگاریتم طبیعی رطوبت بدون بعد عرض از مبدأ صفر در نظر گرفته شد. تغییرات رطوبت محصول در طی سرخ کردن از یک تابع نمایی کاهشی پیروی می کند. مدل ستیک کاهش رطوبت در طی سرخ کردن توسط کروکیدا و همکاران (۲۰۰۱a) به صورت یک تابع به دست آمد [۲۲]. با محاسبه شبیه خطوط برآشش شده روی داده های لگاریتم طبیعی رطوبت بدون بعد، مقدار ثابت سنتیک کاهش آب (K_m) برای روش سرخ کردن هوای داغ در دمای ۱۶۰°C برابر $0.0033 \pm 0.0007 \text{ s}^{-1}$ بدست آمد. همچنین مقدار ثابت سیستمی کاهش آب برای

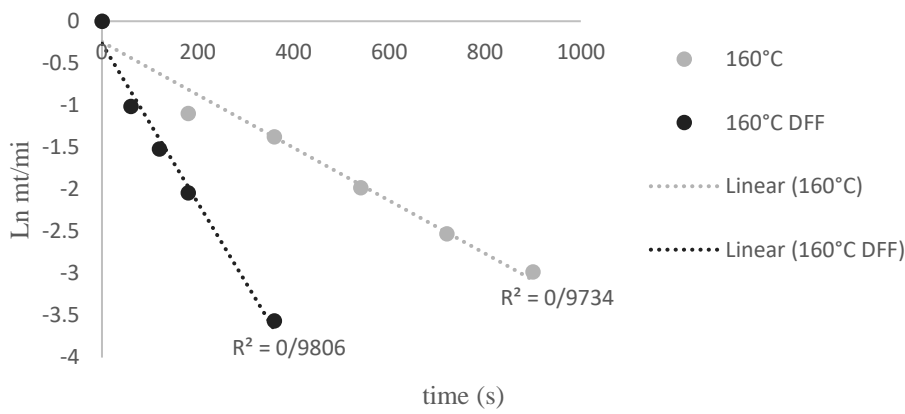


Fig 3. The natural logarithm of dimensionless moisture over time

عمقی کمتر می‌شود. جذب روغن زمانی که منافذ کوچکتر و شعاع کمتری داشته باشند، عمیق‌تر است که علت آن افزایش فشار موئینگی می‌باشد. پس از گذشت ۹ دقیقه از فرآیند و خشک‌شدن کامل محصول به علت فقدان بخار آب، جذب روغن هنگامی که محصول در داخل روغن قرار داشت، صورت گرفت. با توجه به ارتباط خطی بین ثابت‌های سیستیک کاهش آب و جذب روغن، اعمال پیش‌تیمارهای مانند خشک‌کردن با کاهش ثابت سیستیکی کاهش رطوبت و کاهش تخلخل^{۲۴} محصول، می‌تواند جذب روغن را محدود نماید. فارکاس و همکاران (۱۹۹۶) بیان کردند که تا زمانی که دمای مرکزی محصول حدود ۱۰۰ درجه سانتی گراد ثابت باقی می‌ماند، نرخ مهاجرت روغن به داخل محصول ناچیز است. به عبارت دیگر تا زمانی که تبخیر شدت داشته باشد، خروج بخار آب از ورود روغن به داخل ساختار و منافذ محصول جلوگیری می‌کند و نرخ مهاجرت روغن به داخل محصول تقریباً متوقف می‌شود زیرا این دو جریان انتقال جرم در جهت مخالف هم اتفاق می‌افتد و با توجه به خصوصیات خیس‌شوندگی و آبدوستی^{۲۵}، محصول به آسانی به روغن آغشته نخواهد شد [۳۵].

۳-۲-۴- جذب روغن میگو در سرخ کردن عمیق

شکل (۴) نتایج تغییرات جذب روغن میگو در طی زمان سرخ کردن را نشان می‌دهد. تغییرات جذب روغن در سرخ-کردن عمیق از یک تابع افزایشی تقریباً خطی پیروی کرده و جذب روغن قابل توجهی در فرآوری سرخ کردن عمیق میگو توسط دو مکانیسم کندانس شدن بخار آب در داخل ماده غذایی و جریان موئینگی مشاهده شد. در زمان‌های ابتدایی سرخ کردن، بخار آب با فشار داخلی از بافت محصول خارج شده و درنتیجه روغن کمتری جذب محصول گردیده است. با افزایش زمان سرخ کردن و پیشرفت فرایند و انجام تبخیر، خصوصیات آبدوستی به تدریج کاهش یافت و با توجه به خاصیت موئینگی، احتمال ورود و نفوذ روغن به منافذ افزایش یافت. بعد از خروج میگو از بستر حرارتی، در اثر مکش حاصل از افت دما و فشار ناشی از کندانس بخار در منافذ، روغن سطحی چسبیده به محصول به داخل منافذ میگو نفوذ پیدا کرد. همچنین میزان نفوذ روغن به محصول به ویسکوزیته روغن و نحوه اتصال حفرات محصول بستگی دارد. افزایش ویسکوزیته موجب اتصال سطحی روغن و نفوذ

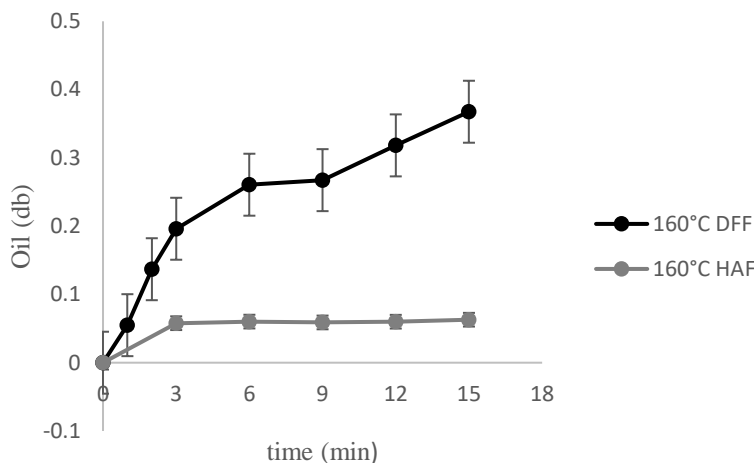


Fig 4. Oil content during deep fat frying (DFF) and hot air frying (HAF) over time

دلیل سرعت انتقال حرارت بالای روغن، زودتر به نقطه جوش آب رسیده و برای مدتی ثابت ماند و در نهایت پس از اتمام آب سطحی و تشکیل پوسته، به دمای روغن نزدیک شد. دمای مرکزی محصول برای سرخ کردن هوای داغ، پس از رسیدن به نقطه جوش آب تا پایان به صورت یکنواخت تقریباً ثابت مانده است. تغییرات دمایی مشاهده شده برای دمای مرکزی محصول در حین سرخ کردن با مشاهدات بسیاری از محققین توافق دارد [۳۱، ۳۲]. فارکاس و همکاران (۱۹۹۶) بیان کردند که در سرخ کردن، انتقال حرارت با وجود دو سینک حرارتی^{۲۹} صورت می‌گیرد [۳۵]. اولین سینک حرارتی به صورت حرارت محسوس است که موجب افزایش دمای محصول از دمای اولیه به نقطه جوش آب می‌شود. این سینک حرارتی با پیشرفت فرآیند سرخ کردن و رسیدن دمای مرکزی محصول به نقطه جوش به تدریج محدود می‌شود. دومین سینک حرارتی مربوط به حرارت نهان که تبخیر آب در حد واسطه پوسته/هسته را شامل می‌شود، می‌باشد که آب در این نقطه تبدیل به بخار می‌شود و در سرتاسر فرآیند سرخ کردن حفظ می‌گردد. ساهین و همکاران (۱۹۹۹)^{۳۰} گزارش کردند هرچه دمای فرآیند بیشتر باشد، طول دوره دمای ثابت (۱۰۰ درجه سانتی گراد) در

۳-۳-۳ نتایج بررسی انتقال حرارت در حین سرخ کردن

۱-۳-۳-۳ تغییرات دمای مرکزی میگو حین سرخ کردن

شکل (۵) تغییرات مرکزی میگو طی سرخ کردن هوای داغ و سرخ کردن به روش عمیق نشان می‌دهد. ثبت تغییرات دمایی با استفاده از ترموموکوپل انجام گرفت. سنسورهای دما در مقیاس آزمایشگاهی با استفاده از دستگاهی به نام ثبت-کننده دما^{۳۶} جهت ثبت تغییرات دمایی طی فرآیند به رایانه متصل گردیدند. ثبت دمای محصول به دو صورت تغییرات با زمان (سیستمیک)^{۳۷} و تغییرات با مکان داخل محصول (پروفایل)^{۳۸} انجام گرفت. در روش سرخ کردن هوای داغ، دمای مرکزی محصول به نقطه جوش آب رسیده و برای مدت زمانی ثابت باقی ماند. با رسیدن دمای مرکزی محصول به حدود نقطه جوش آب، به دلیل افزایش فشار بخار ناشی از تبخیر و حبس حباب‌های بخار در محصول، نقطه جوش آب طبق قوانین ترمودینامیکی افزایش یافت. با کاهش نرخ تبخیر آب و فاز جوشش، نقطه جوش آب کاهش یافت اما به دلیل وجود اجزای محلول، اندکی بیش از ۱۰۰°C باقی ماند. دمای مرکزی محصول در روش سرخ کردن عمیق به

خشک کردن میگو بیان کردند که دمای میگو طی ۱۵ دقیقه ابتدایی خشک کردن با هوای داغ به سرعت افزایش یافت و به دمای بستر نزدیک شد [۴].

منحنی سیستیک دمایی محصول کاهش می‌یابد و افزایش دمای محصول به سمت دمای روغن سریع‌تر خواهد بود [۳۶]. این حالت به خصوص برای روش سرخ کردن عمیق در این پژوهش ملاحظه گردید. نگوئن و همکاران (۲۰۱۹) برای

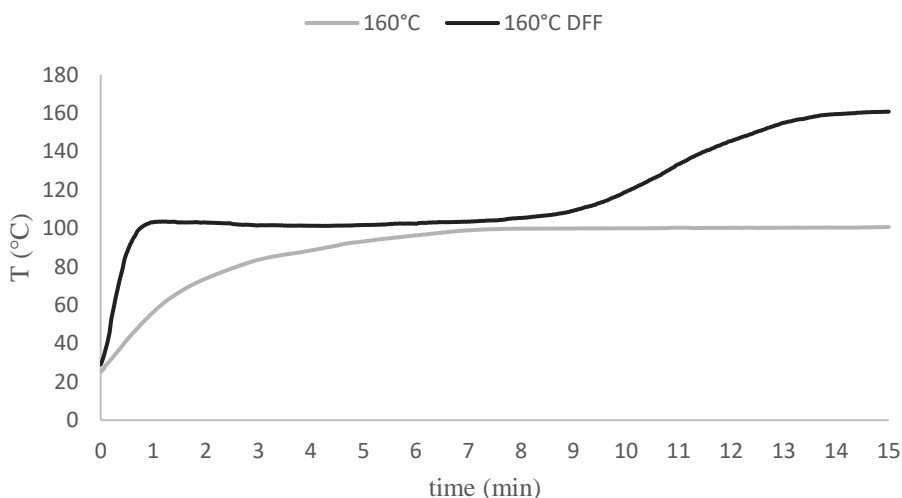


Fig 5. The Central temperature changes during deep fat frying (DFF) and hot air frying (HAF)

عمیق برای محصول میگو نشان می‌دهد. ضریب انتقال حرارت جابجایی در روش عمیق از روش هوای داغ بیشتر بود که علت آن، تشکیل حباب‌های بخارآب، افزایش تلاطم و تجزیه شدن روغن حین سرخ کردن بوده است. ضریب انتقال حرارت جابجایی نقش مهم در تشکیل خصوصیات حسی و قهوه‌ای شدن محصول دارد. در صورتی که انرژی لازم برای تبخیر رطوبت از محصول ثابت در نظر گرفته شود، می‌توان گفت با افزایش نرخ کاهش رطوبت مقدار بیشتری از انرژی ورودی به میگو به فرآیند تبخیر اختصاص می‌یابد. این امر موجب کاهش میزان انرژی در دسترس برای افزایش انرژی داخلی و در نتیجه کاهش ضریب انتقال حرارت جابجایی در دمای کم می‌شود. این امر با نتیجه کاستا و همکاران (۱۹۹۹)، ساهین و همکاران (۱۹۹۹) و بودزاکی و سروگا (۲۰۰۴) موافقت دارد [۲۹، ۳۶، ۳۷] ولی با نتایج یلدیز و همکاران (۲۰۰۷) موافقت ندارد [۲۰]. برای توضیح بالابودن ضریب انتقال حرارت در روش عمیق کاستا و همکاران (۱۹۹۹) گزارش کردند که در حین سرخ کردن

۲-۳-۳- میزان ضریب انتقال حرارت جابجایی با استفاده از دمای مرکزی

در شکل (۶) بخش خطی لگاریتم طبیعی دمای بدون بعد در برابر زمان سرخ کردن هوای داغ نشان داده شده است. شکل (۷) همین تغییرات را برای روش سرخ کردن عمیق نشان می‌دهد. از تغییرات نزولی این نمودارها می‌توان دید که نرخ حرارت دهی میگو با توجه به دمای مرکزی، با افزایش زمان فرآیند سرخ کردن کاهش می‌یابد. با استفاده از شبیه بخش خطی نمودار لگاریتمی دمای بدون بعد در برابر زمان و مشخص بودن خصوصیات فیزیکی و حرارتی میگو (دانسیته، ضریب هدایت حرارتی، ظرفیت گرمایی ویژه و نفوذ حرارتی به ترتیب برابر 10.80 کلیوگرم بر متر مکعب، 0.5158×10^{-7} بر مول ثانیه کلوین، 3780 ژول بر کیلوگرم کلوین و 1.26 مترمربع بر ثانیه)، عدد بدون بعد بایوت انتقال حرارت (Bi_h) و در نتیجه ضریب انتقال حرارت جابجایی با توجه به دمای مرکزی تخمین زده شد. جدول (۴) نتایج تخمین پارامترهای انتقال حرارت طی سرخ کردن هوای داغ و روش

افزایش ضریب انتقال حرارت می‌گردد [۲۹]. نگوئن و همکاران (۲۰۱۹) مقادیر تقریباً مشابهی را برای ضریب انتقال حرارت طی خشک کردن می‌گویند با هوای داغ مشاهده نمودند [۴].

جوشش هسته‌ای^۳ مشاهده می‌شود. یعنی بخارات آب به شکل حباب در سطوح مختلف محصول تشکیل می‌شوند و به سمت قسمت بالایی بستر روغن حرکت می‌کنند. حرکت حباب‌های بخار بعد از تشکیل در سطح، تأثیر زیادی بر تلاطم و آشفتگی جریان روغن دارد و جریان متلاطم موجب

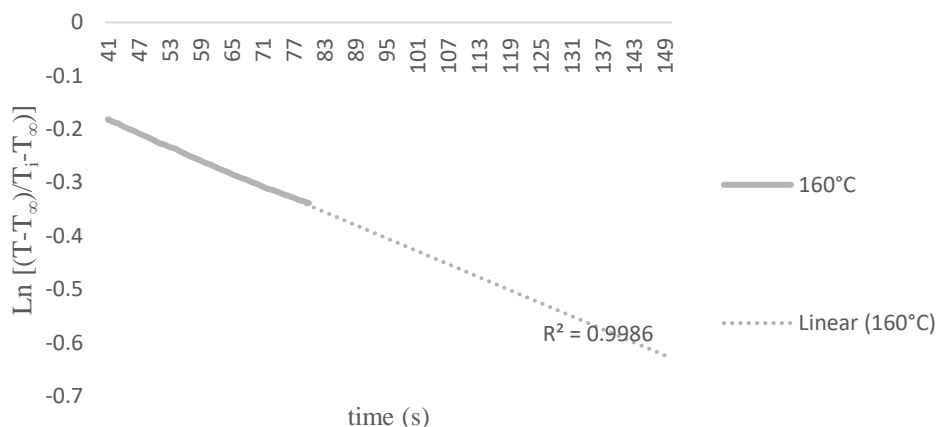


Fig 6. The natural logarithm of dimensionless temperature against time during HAF

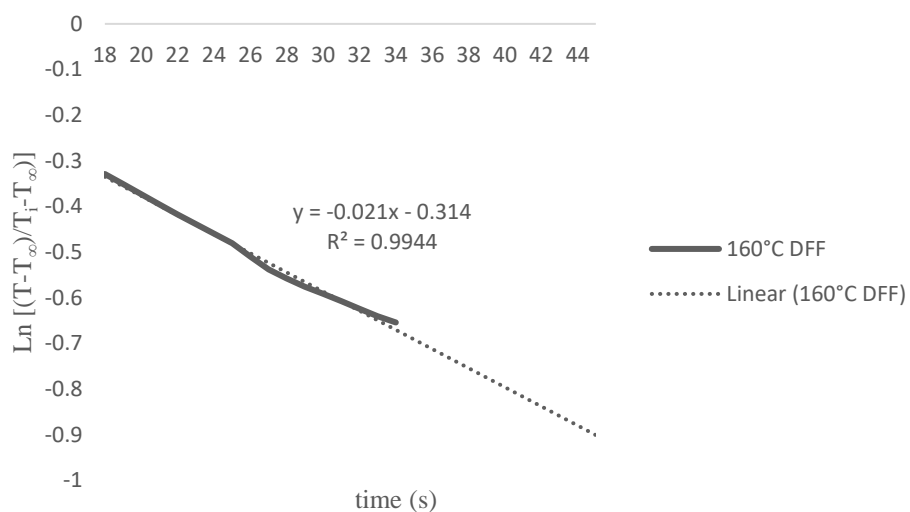


Fig 7. The natural logarithm of dimensionless temperature against time during DFF

Table ۴. Heat transfer parameters for deep fat frying (DFF) and hot air frying (HAF)

Displacement heat transfer coefficient (W/m ² °C)	Biot number (Bi _h)	Temperature (°C)

30 -Nucleate boiling

19/42 113/15	·/084 ·/493	HAF ۱۶۰ DFF ۱۶۰
-----------------	----------------	----------------------------------

حدود صفر می‌رسد در حالی که در نمونه‌ی سرخ شده با هوای داغ سطح رطوبت صفر در مدت ۱۵ دقیقه مشاهده نشد. محتوی روغن میگو در روش عمیق طی ۱۵ دقیقه فرآوری همواره به صورت تقریباً خطی زیاد شد که نشان‌دهنده جذب روغن بالای این محصول است و روش هوای داغ می‌تواند این جذب روغن را محدود نماید. تغییرات دمای مرکز محصول طی سرخ کردن عمیق بعد از اتمام رطوبت داخلی محصول با سرعت زیادی به سمت دمای روغن میل می‌کند که این امر می‌تواند در صورت عدم کنترل فرآیند منجر به افزایش خطر تجزیه ترکیبات مفید و سلامت بخش میگو و در نتیجه افت تغذیه‌ای آن گردد. در روش هوای داغ تغییرات دمای مرکز محصول به طور کنترل شده‌ای مشاهده شد که می‌تواند منجر به حفظ سلامت محصول گردد.

۵- منابع

- [1] Ajifolokun, O. M., Basson, A. K., Osunsanmi, F. O., & Zharare, G. E. (2018). Effects of drying methods on quality attributes of shrimps. *Journal of Food Processing and Technology*, 10(772): 2.
- [2] AlFaris, N. A., Alshammary, G. M., AlTamimi, J. Z., AlMousa, L. A., Alagal, R. I., AlKehayez, N. M., ... & Yahya, M. A. (2022). Evaluating the effects of different processing methods on the nutritional composition of shrimp and the antioxidant activity of shrimp powder. *Saudi Journal of Biological Sciences*, 29(1): 640-649.
- [3] Rajesh, M., & Noorjahan, A. (2021). Comparative studies on antioxidant properties of wild and cultured shrimps. *Journal of Survey in Fisheries Sciences*, 199-208.
- [4] Nguyen, M. P., Ngo, T. T., & Le, T. D. (2019). Experimental and numerical investigation of transport phenomena and kinetics for convective shrimp drying. *Case Studies in Thermal Engineering*, 14: 100465.
- [5] Rostini, I., & Pratama, R. I. (2018). Effect of steaming on physical and chemical characteristics White Shrimp (*Litopenaeus vannamei*) from Indramayu Waters. In *IOP Conference Series: Earth and Environmental Science* (Vol. 176, No. 1, p. 012046). IOP Publishing.
- [6] Musaiger, A. O., & D Souza, R. (2008). The effects of different methods of cooking on proximate, mineral and heavy metal composition of fish and shrimps consumed in the Arabian Gulf. *Archivos latinoamericanos de nutrición*, 58(1): 103-109.
- [7] Erdođdu, F., Balaban, M. O., & Otwell, W. S. (2003). Construction of shrimp cooking charts using previously developed mathematical models for heat transfer and yield loss predictions. *Journal of food engineering*, 60(1): 107-110.
- [8] Dueik, V., Robert, P., & Bouchon, P. (2010). Vacuum frying reduces oil uptake and improves the quality parameters of carrot crisps. *Food chemistry*, 119(3): 1143-1149.
- [9] Ngadi, M. O., Wang, Y., Adedeji, A. A., & Raghavan, G. S. V. (2009). Effect of microwave pretreatment on mass transfer during deep-fat frying of chicken nugget. *LWT-Food Science and Technology*, 42(1): 438-440.
- [10] Moyano, P. C., & Pedreschi, F. (2006). Kinetics of oil uptake during frying of potato slices: Effect

۴- نتیجه‌گیری

در این مطالعه، پارامترهای انتقال جرم و حرارت در طی سرخ کردن هوای داغ میگو تخمین زده شد. این تخمین براساس اندازه‌گیری رطوبت بدون بعد و وابستگی آن به زمان انجام شد. مقادیر بدست آمده برای روش سرخ کردن با هوای داغ کمتر از روش سرخ کردن عمیق بود. در سرخ کردن عمیق عدد بایوت و ضریب نفوذ موثر بالاتر از روش سرخ کردن هوای داغ بود. بیشترین ثابت سیستمی کاهش رطوبت در محصول در روش سرخ کردن عمیق مشاهده شد. با افزایش زمان سرخ کردن نرخ کاهش آب به تدریج محدود می‌شود. شدت خروج رطوبت در روش سرخ کردن عمیق بسیار شدیدتر از روش هوای داغ است به طوری که در این پژوهش بعد از ۹ دقیقه فرآوری میگو در روش عمیق، رطوبت به

- of pre-treatments. *LWT-Food Science and Technology*, 39(3): 285-291.
- [11] Debnath, S., Bhat, K. K., & Rastogi, N. K. (2003). Effect of pre-drying on kinetics of moisture loss and oil uptake during deep fat frying of chickpea flour-based snack food. *LWT-Food Science and Technology*, 36(1): 91-98.
- [12] Zaghi, A. N., Barbalho, S. M., Guiguer, E. L., & Otoboni, A. M. (2019). Frying process: From conventional to air frying technology. *Food Reviews International*, 35(8): 763-777.
- [13] Andrés, A., Arguelles, Á., Castelló, M. L., & Heredia, A. (2013). Mass transfer and volume changes in French fries during air frying. *Food and Bioprocess Technology*, 6: 1917-1924.
- [14] Teruel, M. D. R., Gordon, M., Linares, M. B., Garrido, M. D., Ahromrit, A., & Nirajan, K. (2015). A comparative study of the characteristics of french fries produced by deep fat frying and air frying. *Journal of Food Science*, 80(2): E349-E358.
- [15] Santos, C. S., Cunha, S. C., & Casal, S. (2017). Deep or air frying? A comparative study with different vegetable oils. *European Journal of Lipid Science and Technology*, 119(6): 1600375.
- [16] Heredia, A., Castelló, M. L., Argüelles, A., & Andrés, A. (2014). Evolution of mechanical and optical properties of French fries obtained by hot air-frying. *LWT-Food Science and Technology*, 57(2): 755-760.
- [17] Giovanelli, G., Torri, L., Sinelli, N., & Buratti, S. (2017). Comparative study of physico-chemical and sensory characteristics of French fries prepared from frozen potatoes using different cooking systems. *European Food Research and Technology*, 243(9): 1619-1631.
- [18] Ferreira, F. S., Sampaio, G. R., Keller, L. M., Sawaya, A. C., Chávez, D. W., Torres, E. A., & Saldanha, T. (2017). Impact of air frying on cholesterol and fatty acids oxidation in sardines: Protective effects of aromatic herbs. *Journal of food science*, 82(12): 2823-2831.
- [19] Tajner-Czopek, A., Figiel, A., & Carbonell-Barrachina, A. A. (2008). Effects of potato strip size and pre-drying method on French fries quality. *European Food Research and Technology*, 227: 757-766.
- [20] Yıldız, A., Palazoğlu, T. K., & Erdoğdu, F. (2007). Determination of heat and mass transfer parameters during frying of potato slices. *Journal of food engineering*, 79(1): 11-17.
- [21] Krokida, M. K., Oreopoulou, V., & Maroulis, Z. B. (2000b). Water Loss and Oil Uptake as a Function of Frying Time. *Journal of Food Engineering*, 44: 39-46.
- [22] Krokida, M. K., Oreopoulou, V., Maroulis, Z. B., & Marinos-Kouris, D. (2001a). Effects of osmotic dehydration pretreatment on quality of French fries. *Journal of Food Engineering*, 49: 339-345.
- [23] Hamid, H. H., Mitchell, M., Jahangiri, A., & Thiel, D. V. (2018). Experimental validation of new empirical models of the thermal properties of food products for safe shipping. *Heat and Mass Transfer*, 54: 1247-1256.
- [24] USDA. (2005). USDA national nutrient database for standard reference.
- [25] Durán, M., Pedreschi, F., Moyano, P., & Troncoso, E. (2007). Oil partition in pre-treated potato slices during frying and cooling. *Journal of food Engineering*, 81(1): 257-265.
- [26] Ziaifar, A. M., Courtois, F., & Trystram, G. (2010). Porosity development and its effect on oil uptake during frying process. *Journal of Food Process Engineering*, 33(2): 191-212.
- [27] Pan, G., Ji, H., Liu, S., & He, X. (2015). Vacuum frying of breaded shrimps. *LWT-Food Science and Technology*, 62(1): 734-739.
- [28] Yang, D., Wu, G., Lu, Y., Li, P., Qi, X., Zhang, H., ... & Jin, Q. (2021). Comparative analysis of the effects of novel electric field frying and conventional frying on the quality of frying oil and oil absorption of fried shrimps. *Food Control*, 128: 108195.
- [29] Costa, R. M., Oliveira, F. A., Delaney, O., & Gekas, V. (1999). Analysis of the heat transfer coefficient during potato frying. *Journal of Food Engineering*, 39(3): 293-299.
- [30] Farkas, B. E., & Hubbard, L. J. (2000). Analysis of convective heat transfer during immersion frying. *Drying Technology*, 18(6): 1269-1285.
- [31] Sabbaghi, H., Ziaifar, A. M., Sadeghi Mahoonak, A., Kashani-Nejad, M., & Mirzaee, H. (2015). Estimation of convective heat transfer coefficient as function of the water loss rate during frying process. *Iranian Food Science and Technology Research Journal*, 11(4): 473-484.
- [32] Sabbaghi, H., Ziaifar, A. M., & Kashani-Nejad, M. (2017). Analysis of heat and mass transfer during frying process of potato strips. *Iranian Food Science and Technology Research Journal*, 13(2): 379-392.
- [33] Mohebbi, M., Akbarzadeh-T, M. R., Shahidi, F.,

- Moussavi, M., & Ghoddusi, H. B. (2009). Computer vision systems (CVS) for moisture content estimation in dehydrated shrimp. *Computers and electronics in agriculture*, 69(2): 128-134.
- [34] Romani, S., Bacchiocca, M., Rocculi, P., & Dalla Rosa, M. (2008). Effect of frying time on acrylamide content and quality aspects of French fries. *European Food Research and Technology*, 226: 555-560.
- [35] Farkas, B. E., Singh, R. P., & Rumsey, T. R. (1996). Modeling heat and mass transfer in immersion frying. II, model solution and verification. *Journal of Food Engineering*, 29(2): 227-248.
- [36] Sahin, S. E. R. P. I. L., Sastry, S. K., & Bayindirli, L. (1999). Heat transfer during frying of potato slices. *LWT-food science and technology*, 32(1): 19-24.
- [37] Budžaki, S., & Šeruga, B. (2005). Determination of convective heat transfer coefficient during frying of potato dough. *Journal of Food Engineering*, 66(3): 307-314.



Scientific Research

Analysis of heat and mass transfer during hot air frying and deep frying of shrimp

Bahareh Maroufpour¹, Aman Mohammad Ziaifar^{*2}, Mohammad Ghorbani³, Hassan Sabbaghi⁴, Saeed Yalghi⁵

1 Ph.D. student of food industry science and engineering, Gorgan University of Agricultural Sciences and Natural Resources, Gorgan, Iran

2* Professor, Department of Food Industry Engineering, Gorgan University of Agricultural Sciences and Natural Resources, Gorgan, Iran (corresponding author)

3 Professor, Department of Food Chemistry, Gorgan University of Agricultural Sciences and Natural Resources, Gorgan, Iran

4Assistant Professor, Department of Food Science and Technology, Faculty of Agriculture and Animal Science, University of Torbat-e Jam, Razavi Khorasan Province, Iran

5 Assistant Professor of Fisheries Department, Golestan Province Fisheries Research Center, Gorgan, Iran

ARTICLE INFO**ABSTRACT****Article History:**

Received:2023/11/29

Accepted:2024/5/12

Keywords:

Shrimp,
Hot air frying,
Mass transfer,
Heat transfer.

DOI: [10.22034/FSCT.22.161.86](https://doi.org/10.22034/FSCT.22.161.86).

*Corresponding Author E-
ziaifar@gau.ac.ir

In this research, transfer phenomena during hot air frying and deep frying were investigated. Hot air frying (HAF) and deep frying (DFF) were carried out at 160 °C for 15 minutes for shrimp cylindrical pieces. Temperature variations at the product's core were recorded using a T-type thermocouple equipped Data Logger and PicoLog software on a computer. Moisture content and oil of the product were determined. Heat and mass transfer parameters estimate by using the logarithmic plot of dimensionless temperature against time and empirical equations. Results showed that Mass and heat transfer parameters during hot air frying were lower than deep frying method. In deep frying, the Biot number and the effective diffusion coefficient were higher than the hot air frying method. The kinetic constant of moisture reduction in the product was higher in the deep frying method.